

## 초음파 변환기용 다공질 PZT 세라믹의 압전 및 음향 특성

### Piezoelectric and Acoustic Properties of Porous PZT Ceramics for Ultrasonic Transducer Applications

박 정학\* · 주 용관 · 최 현일 · 사공 건  
동아대학교 전기공학과

Jung-Hak Park\* · Yong-Khoan Joo · Hun-il Choi · Geon Sa-Gong  
Dept. of Electrical Eng., Dong-A Univ.

**Abstract** - PZT powders were prepared by the molten salt synthesis method. The porous PZT was prepared from a mixture of PZT and polyvinylalcohol(PVA) powders by BURPS(Burnout Plastic Sphere) technique. The piezoelectric and acoustic properties with various PVA wt.% were studied. Piezoelectric coefficient  $d_{33}$  of porous PZT ceramics was almost same to that of single phase PZT ceramics. The thickness mode coupling factor  $k_t$  was  $0.53 \sim 0.59$  in comparable with the single phase PZT ceramics ( $k_t=0.7$ ).

#### I. 서 론

지금까지 PZT계 압전 세라믹은 압전성 및 전기기계 결합특성이 우수하여 압전 트랜스듀서 재료로 광범위하게 사용되고 있다. 그러나 PZT 단일상은 밀도가 높아 매질이 공기 및 물인 경우에는 음향 임피던스 정합(matching)이 어렵고, 감쇠계수가 적어서 좁은 주파수 대역에서 반응할 뿐 아니라 올림(ringing) 시간이 길어서 감도를 가늘하는

성능지표가 낮다. 이러한 PZT 단일상의 단점을 개선하기 위하여 낮은 밀도 및 비유전율을 가진 소재의 개발이 요구되고 있다.<sup>1-2)</sup>

이들 특성을 개선하기 위해 다공질 세라믹을 제조하는 방법 및 압전특성에 대한 광범위한 연구가 진행되어 오고 있다.<sup>3-4)</sup> 다공질 압전 세라믹은 큰 압전 전압정수(g 정수), 낮은 음향 임피던스( $Z_0$ ) 및 0값을 가지므로 고감도 및 광대역을 필요로 하는 트랜스듀서에 응용이 기대된다.<sup>5)</sup>

본 연구에서는 비교적 낮은 온도에서 액상을 형성하는 NaCl-KCl 용융염 합성법에 의해 압전 세라믹 PZT를 제조하였으며, 다공질 제조시 기공 형성을 위한 plastic sphere로 PVA(polyvinylalcohol)를 사용, BURPS법(burnout plastic sphere method)에 의해 다공질 세라믹을 제작하였다. 아울러 그들의 압전 및 음향 특성에 대해 연구하였다.

#### II. 실험 방법

본 실험에서 다공질 세라믹 제조를 위한 세라믹 분말

은 동질이형 상경계(Morphotropic Phase Boundary :MPB)근처의 조성을 가지는 PZT[Pb(Zr<sub>0.52</sub>Ti<sub>0.48</sub>O<sub>3</sub>)]를 용융염합성법으로 제조하였다.<sup>6)</sup> 다공질 PZT 재료를 위한 가공 형성을 위해 plastic sphere보는 PVA를 사용하였으며, 이때 암전 세라미가 sphere와의 중량비를 5~15(wt.%) 범위로 칭량하여 건식 혼합한 다음, 등압 성형하였다. 그 후 20(°C/hr)의 비율로 승온하여 500(°C)에서 2시간 유지하여 세라믹에 분산. 혼합되어 있는 plastic sphere를 burn-out시킨 다음 1,150(°C)에서 1시간 소결하여 다공질 시편을 얻었다.<sup>7)</sup> 이들 다공질 세라믹의 분과 및 특성 측정을 위해 양면에 은전극(DuPont #7095)을 도포하고 접촉저항을 줄이기 위해 600(°C)에서 10분동안 열처리를 행하였다. 분극은 120(°C)의 실리콘 기름 중에서 35(kV/cm)의 전계를 10분 인가하여 처리하였으며, 24시간 이상 aging시킨 후 각종 특성을 측정하였다. 암전정수  $d_{33}$ 는 Berlincourt Piezo  $d_{33}$ -meter(Model CPIT 3300, Channel Products, Inc., OH 44022)로 측정하였다. 초음파변환기의 특성은 Testpro System Transducer Characterization System(34 Pulse receiver, 100PR ACCU-TRON Inc.)을 통하여 평가하였다.

### III. 실험 결과

그림 1은 분극 처리된 다공질 세라믹 시편에 있어서 PVA 중량비의 변화에 대한 암전정수  $d_{33}$ 를 나타낸 것으로

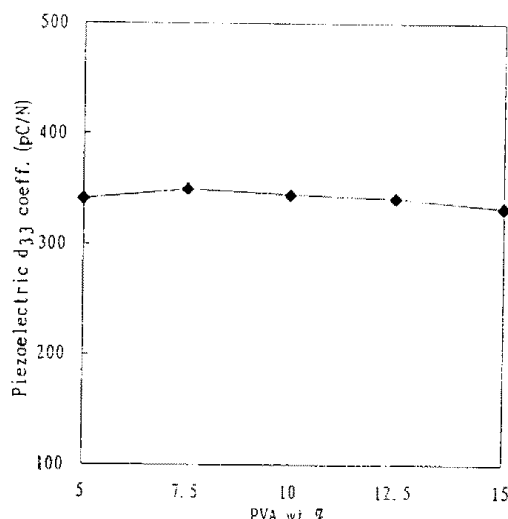


그림 1. 다공질 PZT 세라믹의  $d_{33}$  계수.  
Fig. 1.  $d_{33}$  coefficient of porous PZT ceramics

PVA의 중량비가 증가함에 따라 자체 제작한 단일상 PZT의  $d_{33}$ 의 값( $364(\times 10^{-12} \text{C/N})$ )에 비하여 다공질 PZT 세라믹의  $d_{33}$ 값은 대략  $334\sim 350(\times 10^{-12} \text{C/N})$ 으로 PZT 단일상의  $d_{33}$ 값에 거의 접근한 결과를 얻을 수 있었다.

그림 2는 또 다른 암전진주이 PVA 중량비에 따른 변화를 나타낸 것으로, 단일상 PZT의  $g_{33}$ 의 값( $25(\times 10^{-3} \text{Vm/N})$ )에 비하여 약 2배 정도 증가된  $35\sim 43(\times 10^{-3} \text{Vm/N})$ 로 PZT 단일상의 값보다는 높은 값을 나타내었다. 이는 다공질 세라믹의 비유전율의 감소에 기인된 결과로 단일상 PZT보다 융과의 수신 감도가 개선되리라 생각된다.

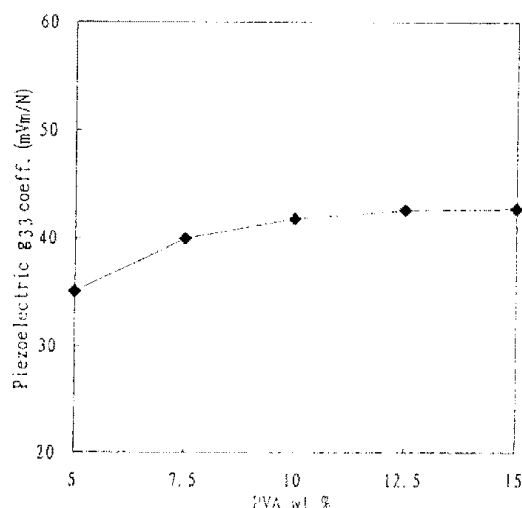


그림 2. 다공질 PZT 세라믹의  $g_{33}$  계수.  
Fig. 2.  $g_{33}$  coefficient of porous PZT ceramics

초음파변환기 응용에 있어서 전기기계 결합계수는 입전정수보다 암전재료를 평가하는 데 더욱 많이 이용되는 정수로, PVA 중량비의 변화에 대한 다공질 암전 세라믹의 전기기계 결합계수  $k_t$ 를 그림 3에 나타내었다. 단일상 PZT의  $k_t$ 의 값(0.7)에 비하여 PVA 중량비의 변화에 대해  $k_t$ 값이 대략  $0.54\sim 0.59$ 로 PZT 단일상의  $k_t$  값에 거의 접근하여 전기음향 변환능률이 양호할 것으로 사료된다.

그림 4는 다공질 PZT 세라믹의 기계적 품질계수  $Q_u$ 값을 나타낸 것으로, 단일상 PZT의  $Q_u$  값이 75~80정도인 것에 비하여 본 연구에서 제작한 다공질 PZT 세라믹의  $Q_u$ 값은 대략 5~6으로 PZT 단일상의 값에 비하여 훨씬 낮은 값을 나타내어 광대역 융향 변환 소자로서의 응용이 가능할 것이다.

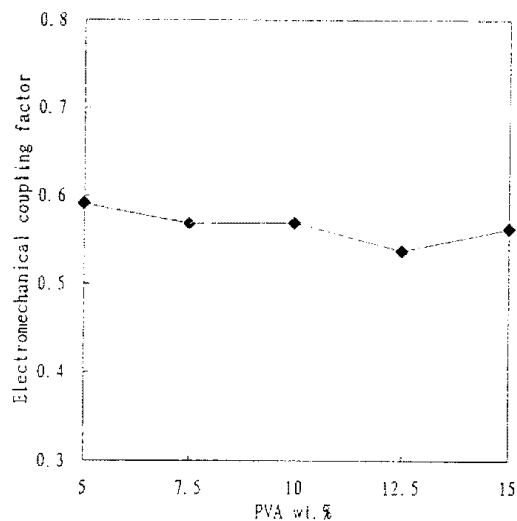


그림 3. 다공질 PZT 세라믹의  $k_t$  계수.  
Fig. 3.  $k_t$  coefficient of porous PZT ceramics.

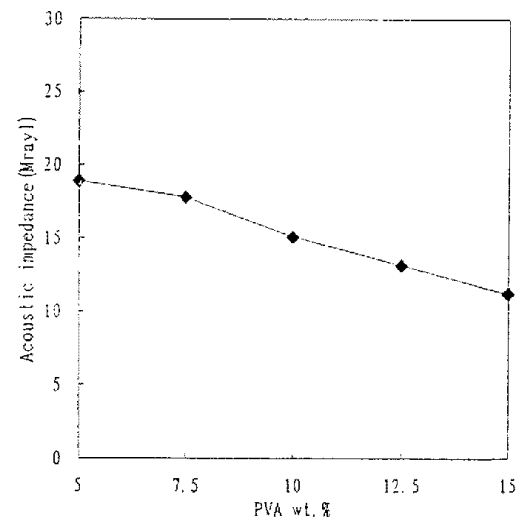


그림 5. 다공질 PZT 세라믹의 음향 임피던스.  
Fig. 5. Acoustic impedance of porous PZT ceramics.

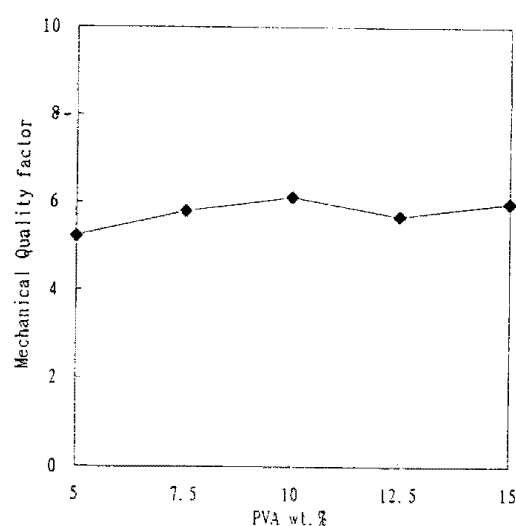
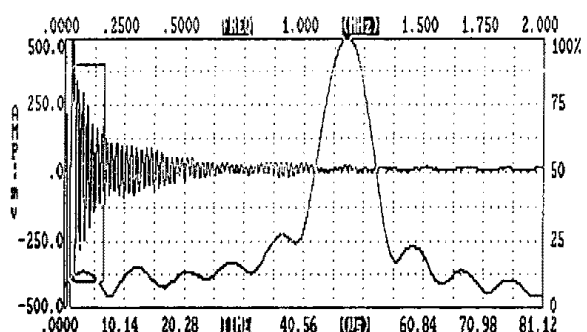


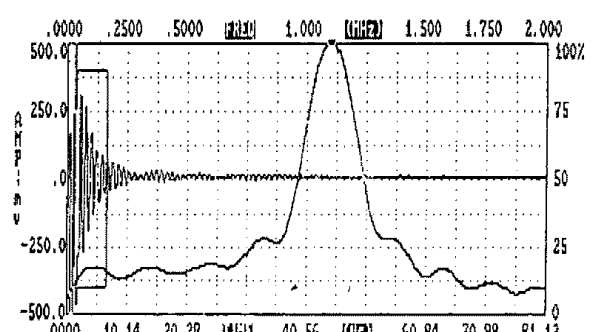
그림 4. 다공질 PZT 세라믹의 Q<sub>m</sub>.  
Fig. 4. Q<sub>m</sub> coefficient of porous PZT ceramics.

그림 5는 다공질 PZT 세라믹의 음향 임피던스를 나타낸 것으로 그림에서와 같이 PVA의 중량비가 증가함에 따라 음향 임피던스는 감소하는 경향을 나타내었는데, 이것은 음향 임피던스가 시편의 밀도  $\rho$  와 음속  $c$ 에 직접 영향을 받게 되므로 PVA의 중량비가 증가함에 따라 시편의 밀도가 감소하므로 음향 임피던스는 감소하게 된다.

그림 6은 초음파변환기로의 응용시의 펄스 특성을 나타낸 것으로서, 단일상 PZT 세라믹(그림 a)은 진동의 온



(a)



(b)

그림 6. 단일상 및 다공질 PZT 세라믹의 펄스 응답특성  
Fig. 6. Pulse response of solid and porous PZT ceramics.

링(ringing)이 여러주기 동안 계속되고 있으니 차례 세것 한 다공질 PZT 세라믹(그림 6)은 단일상 세라믹과 같은 진동의 계속적인 울림은 나타나지 않고 시간에 따라 점진적으로 풀림감쇠(ringdown) 현상을 관찰되며 주수의 감소가 양호할 것으로 사료된다.

#### IV. 결 론

고감도, 광대역 초음파 변환기에 응용될 다공질 PZT 세라믹을 BURPS법에 의해 제조하여 다음과 같은 결론을 얻었다.

1. 혼합시의 PVA sphere의 전 중량비(5~15wt.%)에 대해서 다공질 PZT 세라믹의 압전정수  $d_{33}$ 는  $334 \sim 350$  ( $\times 10^{-12} \text{C/N}$ )으로 PZT 단일상의  $d_{33}$ 값에 거의 접근한 결과를 얻을 수 있었다.
2. 다공질 세라믹의  $g_{33}$ 값은 단일상 PZT의  $25(\times 10^{-3} \text{Vm/N})$ 에 비해 다소 높은 값인 대략  $35 \sim 42$  ( $\times 10^{-3} \text{Vm/N}$ )을 나타내었다.
3. 다공질 PZT 세라믹의 전기기계 결합계수  $k_t$ 는  $0.53 \sim 0.59$ 로 단일상 PZT의  $k_t(0.7)$ 에 거의 접근하였다.
4. 다공질 PZT 세라믹의 음향 임피던스는 PVA의 중량비가 증가함에 따라 음향 임피던스( $Z_s = 11 \sim 19$ )가 감소하였다.
5. 펄스 특성은 단일상 세라믹에 비하여 다공질 세라믹은 시간에 따라 급격한 올림감쇠(ringdown) 현상이 일어났다.

#### 참 고 문 헌

1. R.E. Newnham, A. Safari, G.Sa-Gong & I.Ciniewicz, "Flexible Composites Piezoelectric Sensors", IEEE Proc., Int'l Ultrason. Symp., p501, 1984.
2. G. Sa-Gong, A. Safari, S.J. Jang & R.E. Newnham, "Poling Flexible Piezoelectric composites", Ferroel. Lett., 5(5), p131, 1985.
3. D.P. Skinner, R.E.Newnham & L.E.Cress, "Flexible CompositesTransducer", Mat. Res. Bull., 13, p599, 1978.

4. T.R. Shroudt, V.V. Schulze & J.A. Biggers "Simplified Fabrication of PZT-Polymer Composites", Mat. Res. Bull., 14, p1553, 1979.
5. S. Mizumura, T. Kurihara & K. Okada, "Porous Piezoelectric Ceramic Transducer", Jpn. J. Appl. Phys., 30(9B), p2271, 1991.
6. 이 수호, 박 준범, 사공 건, "Flux에 의해 제조된 압전 세라믹(PZT)의 유전 및 압전특성", 대한전기학회 학술대회 논문집, p221, 1992.
7. 박 정학, 최 현일, 사공 건, "다공질 PZT 세라믹의 제작 및 전기적 특성", 대한전기학회 논문집, p1678, 1994.